



References

1. Bolotin V. V. Mechanics of the initiation and initial development of fatigue cracks. *Soviet materials science*, 1986, vol. 22, iss. 1, pp. 14–19. DOI: 10.1007/BF00720861.
2. Mirsalimov V. M. Initiation of defects such as a crack in the bush of contact pair. *Matem. Mod.*, 2005, vol. 17, no. 2, pp. 35–45 (in Russian).
3. Mirsalimov V. M. The solution of a problem in contact fracture mechanics on the nucleation and development of a bridged crack in the hub of a friction pair. *J. Appl. Math. Mech.*, 2007, vol. 71, iss. 1, pp. 132–151. DOI: 10.1016/j.jappmathmech.2007.03.003.
4. Mir-Salimzade M. V. Generation of Cracks in a Perforated Reinforced Plate. *J. Applied Mechanics and Technical Physics*, 2008, vol. 49, no. 6, pp. 1030–1039.
5. Vagari A. P., Mirsalimov V. M. Nucleation of Cracks in a Perforated Heat-Releasing Material with Temperature-Dependent Elastic Properties. *J. Applied Mechanics and Technical Physics*, 2012, no. 4, pp. 138–148.
6. Zolgharnein E., Mirsalimov V. M. Nucleation of a Crack under Inner Compression of Cylindrical Bodies. *Acta Polytechnica Hungarica*, 2012, vol. 9, no. 2, pp. 169–183.
7. Akhmedova M. V. Cracks nucleation in thin plate, weakened by the periodic system of the curvilinear holes. *Vestnik chuvashskogo gosudarstvennogo pedagogicheskogo universiteta im. I.Ia. Iakovleva. Ser. Mekhanika predel'nogo sostoianiia*, 2013, no. 4 (18), pp. 3–14.
8. Iskenderov R. A. The crack nucleation in the isotropic plate, weakened by a periodical system of circular holes under transverse bending. *Structural Mechanics of Engineering Constructions and Buildings*, 2013, no. 3, pp. 18–28.
9. Mirsalimov V. M., Hasanov Sh. G. Modeling of crack nucleation in covering on an elastic base. *Intern. J. Damage Mech.*, 2014, vol. 23(3), pp. 430–450.
10. Зульфугаров Э. И. Моделирование зарождения искривленной трещины в тормозном барабане автомобиля. *Fundamental'nye i prikladnye problemy tekhniki i tekhnologii* [Fundamental and applied problems of engineering and technology], 2014, no. 1 (303), pp. 24–30 (in Russian).
11. Mohammed I., Liechti K. M. Cohesive zone modeling of crack nucleation at bimaterial corners. *J. Mech. Phys. Solids*, 2000, vol. 48, iss. 4, pp. 735–764.
12. Yang B. Examination of free-edge crack nucleation around an open hole in composite laminates. *Intern. J. Fracture*, 2002, vol. 115, iss. 2, pp. 173–191.
13. Yang Q., Cox B. Cohesive models for damage evolution in laminated composites. *Intern. J. Fracture*, 2005, vol. 133, iss. 2, pp. 107–137.
14. Lipperman F., Ryvkin M., Fuchs M. B. Nucleation of cracks in two-dimensional periodic cellular materials. *Computational Mechanics*, 2007, vol. 39, iss. 2, pp. 127–139.
15. Gutkin M. Yu., Ovid'ko I. A., Skiba N. V. Effect of inclusions on heterogeneous crack nucleation in nanocomposites. *Physics of the Solid State*, 2007, vol. 49, iss. 2, pp. 261–266.
16. Chen Z., Butcher C. Estimation of the Stress State Within Particles and Inclusions and a Nucleation Model for Particle Cracking. *Micromechanics Modelling of Ductile Fracture: Solid Mechanics and Its Applications*, 2013, vol. 195, pp. 223–243.
17. Hasanov F. F. Nucleation of cracks in isotropic medium with periodic system of the circular holes filled with rigid inclusions, at longitudinal shear. *Structural Mechanics of Engineering Constructions and Buildings*, 2014, no. 3, pp. 44–50 (in Russian).
18. Hasanov F. F. Nucleation of the crack in a composite, reinforced unidirectional orthotropic fibres at longitudinal shear. *Mechanics of machines, mechanisms and materials*, 2014, no. 2 (27), pp. 45–50 (in Russian).
19. Muskhelishvili N. I. *Some Basic Problems of Mathematical Theory of Elasticity*. Moscow, Nauka, 1966, 707 p. (in Russian).
20. Mirsalimov V. M. *Multidimensional elasto-plastic problems*. Moscow, Nauka, 1987, 256 p. (in Russian).
21. Il'yushin A. A. *Plasticity*. Moscow; Leningrad, GITTL, 1948, 376 p. (in Russian).

УДК 629

АНАЛИТИЧЕСКОЕ РЕШЕНИЕ УРАВНЕНИЙ ОРИЕНТАЦИИ ОКОЛОКРУГОВОЙ ОРБИТЫ КОСМИЧЕСКОГО АППАРАТА

И. А. Панкратов

Кандидат технических наук, доцент кафедры математического и компьютерного моделирования, Саратовский государственный университет им. Н. Г. Чернышевского, PankratovIA@info.sgu.ru

Рассмотрена задача оптимальной переориентации орбиты космического аппарата (КА) с помощью ограниченного по модулю управления, ортогонального плоскости орбиты КА. Найдено приближённое аналитическое решение дифференциальных уравнений ориентации круговой орбиты КА для постоянного на смежных участках активного движения КА управления.

Ключевые слова: космический аппарат, орбита, ориентация, кватернион, оптимальное управление.



1. ПОСТАНОВКА ЗАДАЧИ

Пусть вектор ускорения \mathbf{u} от тяги реактивного двигателя во все время управляемого движения КА направлен ортогонально плоскости его орбиты. В этом случае орбита КА в процессе управления движением центра масс КА не меняет своей формы и своих размеров, а поворачивается в пространстве под действием управления как неизменяемая (недеформируемая) фигура.

Движение центра масс КА будем рассматривать в инерциальной системе координат X — геоцентрической экваториальной системе координат $OX_1X_2X_3(X)$ с началом в центре O притяжения Земли. Ось OX_3 этой системы координат направлена вдоль оси суточного вращения Земли, оси OX_1 и OX_2 лежат в плоскости экватора Земли, ось OX_1 направлена в точку весеннего равноденствия для Земли, ось OX_2 дополняет систему до правой тройки векторов.

Введем также в рассмотрение орбитальную систему координат η . Начало этой системы координат находится в центре масс КА, ось η_1 направлена вдоль радиуса-вектора центра масс КА, ось η_3 перпендикулярна плоскости орбиты и имеет направление постоянного по модулю вектора \mathbf{c} момента скорости центра масс КА, а ось η_2 образует правую тройку с осями η_1 и η_3 . Ориентация системы координат η в инерциальной системе координат X задаётся долготой восходящего узла Ω_u , наклоном орбиты I , угловым расстоянием перицентра от узла ω_π и истинной аномалией φ , характеризующей положение КА на орбите.

Уравнения ориентации орбитальной системы координат η в параметрах Эйлера λ_j имеют вид [1–4]

$$2 \frac{d\boldsymbol{\lambda}}{dt} = \boldsymbol{\lambda} \circ \boldsymbol{\omega}_\eta, \quad \boldsymbol{\lambda} = \lambda_0 + \lambda_1 \mathbf{i}_1 + \lambda_2 \mathbf{i}_2 + \lambda_3 \mathbf{i}_3, \quad \boldsymbol{\omega}_\eta = \frac{r}{c} u \mathbf{i}_1 + \frac{c}{r^2} \mathbf{i}_3, \quad (1)$$

$$\frac{d\varphi}{dt} = \frac{c}{r^2}, \quad r = \frac{p}{1 + e \cos \varphi}, \quad c = \text{const.}$$

Здесь $\boldsymbol{\lambda}$ — нормированный кватернион ориентации орбитальной системы координат η , $\mathbf{i}_1, \mathbf{i}_2, \mathbf{i}_3$ — векторные мнимые единицы Гамильтона, \circ — символ кватернионного умножения; φ — истинная аномалия, характеризующая положение КА на орбите; $r = |\mathbf{r}|$ — модуль радиуса-вектора центра масс КА; p и e — параметр и эксцентриситет орбиты соответственно, $c = |\mathbf{r} \times \mathbf{v}|$ — постоянная площадей (модуль вектора момента скорости \mathbf{v} центра масс КА); u — проекция вектора реактивного ускорения \mathbf{u} на направление вектора момента скорости центра масс КА (алгебраическая величина реактивного ускорения, перпендикулярного мгновенной плоскости орбиты КА).

Компоненты λ_j кватерниона $\boldsymbol{\lambda}$ связаны с классическими угловыми переменными Ω_u, I, ω_π и φ соотношениями:

$$\lambda_0 = \cos \frac{I}{2} \cos \left(\frac{\Omega_u + \omega_\pi + \varphi}{2} \right), \quad \lambda_1 = \sin \frac{I}{2} \cos \left(\frac{\Omega_u - \omega_\pi - \varphi}{2} \right),$$

$$\lambda_2 = \sin \frac{I}{2} \sin \left(\frac{\Omega_u + \omega_\pi + \varphi}{2} \right), \quad \lambda_3 = \cos \frac{I}{2} \sin \left(\frac{\Omega_u - \omega_\pi - \varphi}{2} \right).$$

Пусть необходимо определить ограниченное по модулю управление \mathbf{u} :

$$-u_{\max} \leq u \leq u_{\max},$$

ортогональное плоскости орбиты КА, переводящее орбиту КА из заданного начального состояния

$$t = t_0 = 0, \quad \varphi(0) = \varphi_0, \quad \boldsymbol{\lambda}(0) = \boldsymbol{\lambda}^h = \boldsymbol{\Lambda}^h \circ \left(\cos \frac{\varphi_0}{2} + \mathbf{i}_3 \sin \frac{\varphi_0}{2} \right)$$

в конечное состояние, принадлежащее многообразию

$$t = t^* = ?, \quad \varphi(t^*) = \varphi^*, \quad \boldsymbol{\lambda}(t^*) = \pm \boldsymbol{\Lambda}^* \circ \left(\cos \frac{\varphi^*}{2} + \mathbf{i}_3 \sin \frac{\varphi^*}{2} \right)$$

и минимизирующее функционал

$$J_1 = \int_0^{t^*} (\alpha_1 + \alpha_2 u^2) dt, \quad \alpha_1, \alpha_2 = \text{const} \geq 0$$



или функционал

$$J_2 = \int_0^{t^*} (\alpha_1 + \alpha_2 |u|) dt, \quad \alpha_1, \alpha_2 = \text{const} \geq 0. \quad (2)$$

При $\alpha_1 = 1, \alpha_2 = 0$ имеем задачу быстродействия. При $\alpha_1 = 0, \alpha_2 = 1$ в случае минимизации функционала (2) имеем задачу минимизации затрат характеристической скорости [5].

Кватернионная переменная $\mathbf{\Lambda}$ характеризует ориентацию орбиты КА, а переменная φ — положение КА на орбите. Величины $c, p, e, \varphi_0, \mathbf{\Lambda}^n$ и $\mathbf{\Lambda}^*$ заданы. Подлежат определению оптимальный закон управления $u = u(t)$ и величины t^*, φ^* .

Аналитическое решение уравнений (1) в случае произвольного управления $u = u(t)$ не найдено. Отметим, что задача интегрирования уравнений (1) есть известная задача Дарбу [6]. Решение указанной задачи в замкнутой форме найдено лишь для некоторых частных случаев (см., например, работу А. В. Молоденкова [7]). Известно, что оптимальное управление, находимое из условия максимума функции Гамильтона – Понтрягина по переменной u , в случае минимизации функционала (2) или при решении задачи быстродействия сохраняет постоянное значение на смежных участках активного движения КА [8, 9]. В работе [10] был предложен способ построения решения уравнений (1) при условии, что орбита КА является круговой ($e = 0$), а управление u — постоянным.

Отметим, что для нахождения аналитического решения уравнений (1) удобно перейти к новой независимой переменной — истинной аномалии φ и ввести безразмерные переменные. Фазовые переменные λ_j являются безразмерными. Безразмерные переменные r^b, t^b и управление u^b связаны с размерными переменными r, t и управлением u соотношениями: $r = Rr^b, u = u_{\max} u^b, t = Tt^b$, где R — характерное расстояние (в его качестве принималась величина, близкая к длине большой полуоси орбиты управляемого КА); V, T — характерные скорость и время соответственно, определяемые соотношениями: $V = c/R, T = R^2/c$.

Отметим также, что при переходе к безразмерным переменным в уравнениях для фазовых переменных появляется характерный безразмерный параметр $N^b = u_{\max} R^3/c^2$.

Таким образом, система фазовых уравнений в безразмерных переменных примет вид [9]

$$\frac{d\boldsymbol{\lambda}}{d\varphi} = \frac{1}{2} \boldsymbol{\lambda} \circ [N^b (r^b)^3 u^b \mathbf{i}_1 + \mathbf{i}_3], \quad r^b = \frac{1}{1 + e \cos \varphi}. \quad (3)$$

2. ПЕРВАЯ ПОПРАВКА

Предположим, что орбита КА является околокруговой ($|e| \ll 1$), а управление постоянным. Следуя [11], будем искать решение в виде разложения по степеням малого параметра e :

$$\boldsymbol{\lambda}(\varphi) = \boldsymbol{\lambda}^{(0)}(\varphi) + e\boldsymbol{\lambda}^{(1)}(\varphi) + e^2\boldsymbol{\lambda}^{(2)}(\varphi) + \dots \quad (4)$$

Входящий в уравнения (1) множитель $(r^b)^3$ можно также представить в виде ряда по степеням e :

$$(r^b)^3 = \frac{1}{(1 + e \cos \varphi)^3} = 1 + 3e \cos \varphi + 6e^2 \cos^2 \varphi + \dots$$

Ограничимся пока нахождением лишь первого поправочного члена ряда (4), т.е. будем искать приближённое решение задачи в виде

$$\boldsymbol{\lambda}(\varphi) = \boldsymbol{\lambda}^{(0)}(\varphi) + e\boldsymbol{\lambda}^{(1)}(\varphi) + O(e^2). \quad (5)$$

Тогда уравнения для кватерниона $\boldsymbol{\lambda}$ примут вид

$$\frac{d\boldsymbol{\lambda}}{d\varphi} = \frac{1}{2} \boldsymbol{\lambda} \circ \{ [N \mathbf{i}_1 + \mathbf{i}_3] - 3Ne \cos \varphi \mathbf{i}_1 \}. \quad (6)$$

Здесь $N = N^b u^b = \text{const}$.

Подставляя разложение (5) в кватернионное уравнение (6) и приравнивая коэффициенты при одинаковых степенях e , имеем:

$$\frac{d\boldsymbol{\lambda}^{(0)}}{d\varphi} = \frac{1}{2} \boldsymbol{\lambda}^{(0)} \circ [N \mathbf{i}_1 + \mathbf{i}_3], \quad (7)$$



$$\frac{d\lambda^{(1)}}{d\varphi} = \frac{1}{2}\lambda^{(1)} \circ [N \mathbf{i}_1 + \mathbf{i}_3] - \frac{3}{2}N \cos \varphi \left(\lambda^{(0)} \circ \mathbf{i}_1 \right). \quad (8)$$

При этом необходимо учитывать тот факт, что умножение кватернионов ассоциативно, но в общем случае не коммутативно [6, 12].

Уравнение (7) совпадает с уравнением ориентации орбитальной системы координат в случае, когда КА движется по круговой орбите под действием постоянного управления. Согласно [10] общее решение этого уравнения имеет вид

$$\lambda^{(0)} = \mathbf{C} \cos \left(\frac{\omega\varphi}{2} \right) + \mathbf{D} \sin \left(\frac{\omega\varphi}{2} \right), \quad (9)$$

где \mathbf{C} , \mathbf{D} – кватернионные постоянные интегрирования, а $\omega = \sqrt{N^2 + 1} = \text{const}$.

При этом уравнение (8) принимает вид

$$\begin{aligned} \frac{d\lambda^{(1)}}{d\varphi} = & \frac{1}{2}\lambda^{(1)} \circ [N \mathbf{i}_1 + \mathbf{i}_3] - \frac{3}{4}N \left\{ (\mathbf{C} \circ \mathbf{i}_1) \cdot \left[\cos \left[\left(\frac{\omega}{2} + 1 \right) \varphi \right] + \right. \right. \\ & \left. \left. + \cos \left[\left(\frac{\omega}{2} - 1 \right) \varphi \right] \right] + (\mathbf{D} \circ \mathbf{i}_1) \cdot \left[\sin \left[\left(\frac{\omega}{2} + 1 \right) \varphi \right] + \sin \left[\left(\frac{\omega}{2} - 1 \right) \varphi \right] \right] \right\}. \end{aligned} \quad (10)$$

Исключая из рассмотрения решение соответствующего однородного уравнения, будем искать решение (10) в виде

$$\lambda^{(1)} = \mathbf{A}^+ \cos \left[\left(\frac{\omega}{2} + 1 \right) \varphi \right] + \mathbf{B}^+ \sin \left[\left(\frac{\omega}{2} + 1 \right) \varphi \right] + \mathbf{A}^- \cos \left[\left(\frac{\omega}{2} - 1 \right) \varphi \right] + \mathbf{B}^- \sin \left[\left(\frac{\omega}{2} - 1 \right) \varphi \right], \quad (11)$$

где \mathbf{A}^+ , \mathbf{B}^+ , \mathbf{A}^- , \mathbf{B}^- – постоянные кватернионы.

Подставляя (11) в уравнение (10) и приравнявая коэффициенты при косинусах и синусах с одинаковыми аргументами, получим, что

$$\begin{aligned} \mathbf{A}^+ &= \frac{3N}{8(1+\omega)} \mathbf{C} \circ [-N - \mathbf{i}_2] + \frac{3N(\omega+2)}{8(1+\omega)} (\mathbf{D} \circ \mathbf{i}_1), \\ \mathbf{B}^+ &= -\frac{3N(\omega+2)}{8(1+\omega)} (\mathbf{C} \circ \mathbf{i}_1) + \frac{3N}{8(1+\omega)} \mathbf{D} \circ [-N - \mathbf{i}_2], \\ \mathbf{A}^- &= \frac{3N}{8(1-\omega)} \mathbf{C} \circ [-N - \mathbf{i}_2] + \frac{3N(\omega-2)}{8(1-\omega)} (\mathbf{D} \circ \mathbf{i}_1), \\ \mathbf{B}^- &= -\frac{3N(\omega-2)}{8(1-\omega)} (\mathbf{C} \circ \mathbf{i}_1) + \frac{3N}{8(1-\omega)} \mathbf{D} \circ [-N - \mathbf{i}_2]. \end{aligned} \quad (12)$$

Таким образом, общее решение уравнения (3) с точностью до слагаемых, содержащих эксцентриситет орбиты КА в степени не выше первой, имеет вид

$$\begin{aligned} \lambda = & \mathbf{C} \cos \left(\frac{\omega\varphi}{2} \right) + \mathbf{D} \sin \left(\frac{\omega\varphi}{2} \right) + \\ & + e \left\{ \left(\frac{3N}{8(1+\omega)} \mathbf{C} \circ [-N - \mathbf{i}_2] + \frac{3N(\omega+2)}{8(1+\omega)} (\mathbf{D} \circ \mathbf{i}_1) \right) \cos \left[\left(\frac{\omega}{2} + 1 \right) \varphi \right] + \right. \\ & + \left(-\frac{3N(\omega+2)}{8(1+\omega)} (\mathbf{C} \circ \mathbf{i}_1) + \frac{3N}{8(1+\omega)} \mathbf{D} \circ [-N - \mathbf{i}_2] \right) \sin \left[\left(\frac{\omega}{2} + 1 \right) \varphi \right] + \\ & + \left(\frac{3N}{8(1-\omega)} \mathbf{C} \circ [-N - \mathbf{i}_2] + \frac{3N(\omega-2)}{8(1-\omega)} (\mathbf{D} \circ \mathbf{i}_1) \right) \cos \left[\left(\frac{\omega}{2} - 1 \right) \varphi \right] + \\ & \left. + \left(-\frac{3N(\omega-2)}{8(1-\omega)} (\mathbf{C} \circ \mathbf{i}_1) + \frac{3N}{8(1-\omega)} \mathbf{D} \circ [-N - \mathbf{i}_2] \right) \sin \left[\left(\frac{\omega}{2} - 1 \right) \varphi \right] \right\}. \end{aligned} \quad (13)$$

Пусть необходимо найти частное решение уравнения (3), удовлетворяющее условию

$$\lambda(0) = \lambda^{\text{H}},$$

тогда для определения кватернионов \mathbf{C} и \mathbf{D} имеем систему линейных алгебраических уравнений:

$$\mathbf{C} \circ \mathbf{a}_{11} + \mathbf{D} \circ \mathbf{a}_{12} = \lambda^{\text{H}}, \quad \mathbf{C} \circ \mathbf{a}_{21} + \mathbf{D} \circ \mathbf{a}_{22} = \frac{d\lambda}{d\varphi} \Big|_{\varphi=0} = \frac{1}{2}\lambda^{\text{H}} \circ \{ [N \mathbf{i}_1 + \mathbf{i}_3] - 3N e \mathbf{i}_1 \}. \quad (14)$$



Здесь $\mathbf{a}_{11} = 1 + 0.75e + (0.75e/N)\mathbf{i}_2$, $\mathbf{a}_{12} = (0.75e/N)\mathbf{i}_1$, $\mathbf{a}_{21} = 3e \cdot (1 - 3N^2)/(8N)\mathbf{i}_1$, $\mathbf{a}_{22} = \omega \cdot (0.5 - 3e/8) - 3e \cdot \omega/(8N)\mathbf{i}_2$.

Решение системы (14) имеет вид

$$\mathbf{D} = \left[\boldsymbol{\lambda}^H \circ \mathbf{a}_{11}^{-1} - \frac{d\boldsymbol{\lambda}}{d\varphi} \Big|_{\varphi=0} \right] \circ (\mathbf{a}_{12} \circ \mathbf{a}_{11}^{-1} - \mathbf{a}_{22} \circ \mathbf{a}_{21}^{-1})^{-1}, \quad \mathbf{C} = \boldsymbol{\lambda}^H \circ \mathbf{a}_{11}^{-1} - \mathbf{D} \circ \mathbf{a}_{22} \circ \mathbf{a}_{11}^{-1}. \quad (15)$$

На рис. 1 показаны законы изменения компонент кватерниона погрешности определения ориентации орбитальной системы координат

$$err_j(e) = \max_{\varphi \in [0; 2\pi]} |\lambda_j^{\text{прибл}}(\varphi, e) - \lambda_j^{\text{PK}}(\varphi, e)|, \quad j = \overline{0, 3}.$$

Здесь $\boldsymbol{\lambda}^{\text{прибл}}(\varphi, e)$ — приближённое решение, рассчитанное по формулам (13), (15); а $\boldsymbol{\lambda}^{\text{PK}}(\varphi, e)$ — результат интегрирования уравнения (3) методом Рунге–Кутты 4-го порядка точности с шагом $h = 0.001$ рад. Отметим, что параметры задачи полагались равными:

$$\begin{aligned} \Omega_u^0 = \Omega_u(0) = 215.25^\circ, \quad I^0 = I(0) = 64.8^\circ, \quad \omega_\pi^0 = \omega_\pi(0) = 0^\circ, \\ \varphi_0 = 0 \text{ рад.}, \quad u_{\max} = 0.101907 \text{ м/с}^2, \quad N = 0.35. \end{aligned} \quad (16)$$

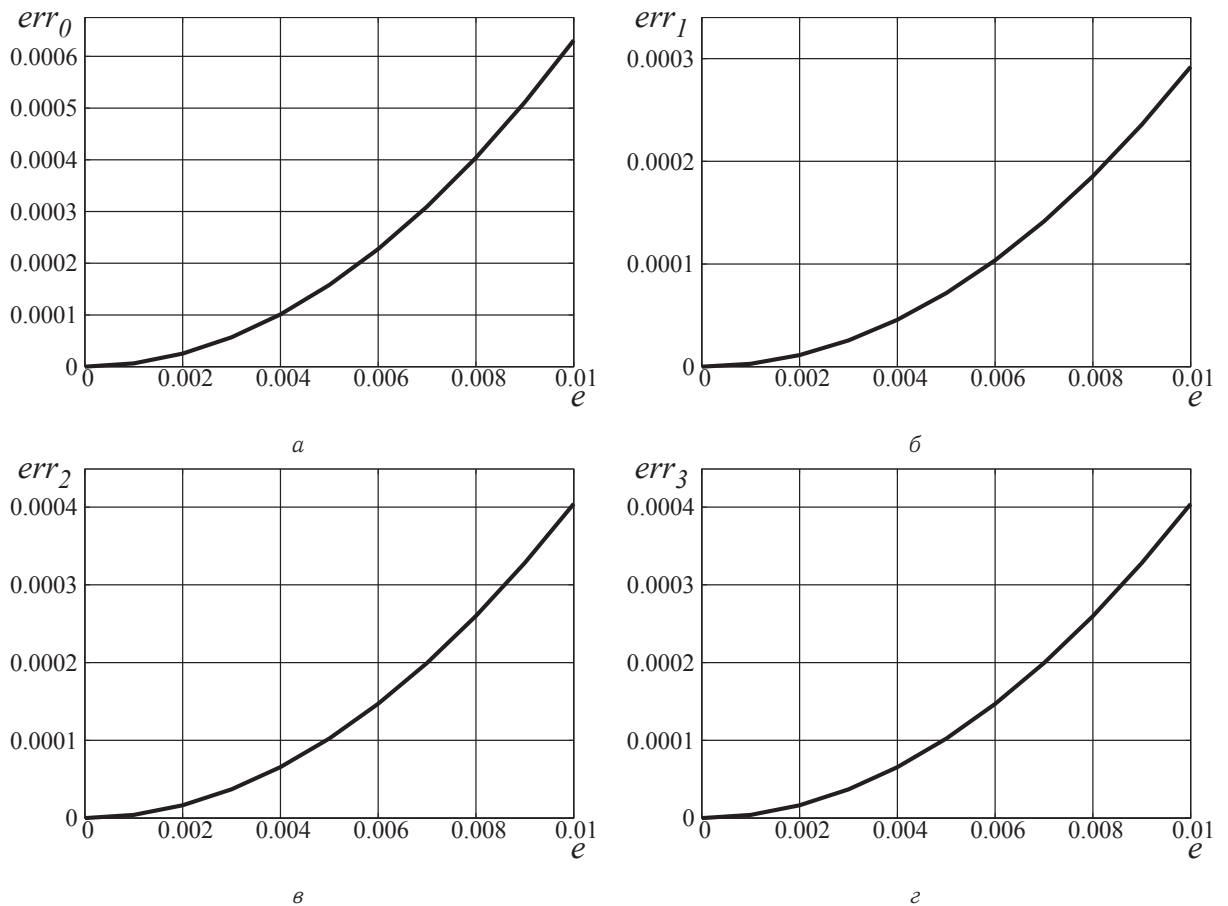


Рис. 1. Компоненты кватерниона погрешности (первая поправка): а — скалярная часть; б–г — компоненты векторной части

При этом компоненты начального кватерниона ориентации орбитальной системы координат имели вид

$$\lambda_0^H = -0.255650, \quad \lambda_1^H = -0.162241, \quad \lambda_2^H = 0.510674, \quad \lambda_3^H = 0.804694. \quad (17)$$

Указанный кватернион $\boldsymbol{\lambda}^H$ соответствует ориентации орбиты одного из спутников группировки ГЛОНАСС (при условии, что начальное значение истинной аномалии φ — ноль радиан).



3. ВТОРАЯ ПОПРАВКА

Уточним полученное решение и найдём второй поправочный член ряда (4), т.е. теперь приближённое решение задачи примет вид

$$\lambda(\varphi) = \lambda^{(0)}(\varphi) + e\lambda^{(1)}(\varphi) + e^2\lambda^{(2)}(\varphi) + O(e^3). \quad (18)$$

В этом случае уравнения для кватерниона λ будут иметь вид

$$\frac{d\lambda}{d\varphi} = \frac{1}{2}\lambda \circ \{[N\mathbf{i}_1 + \mathbf{i}_3] - N(3e \cos \varphi - 6e^2 \cos^2 \varphi) \mathbf{i}_1\}, \quad (19)$$

Подставляя разложение (18) в кватернионное уравнение (19) и приравнявая коэффициенты при одинаковых степенях e , имеем помимо (7), (8) следующее уравнение:

$$\frac{d\lambda^{(2)}}{d\varphi} = \frac{1}{2}\lambda^{(2)} \circ [N\mathbf{i}_1 + \mathbf{i}_3] - \frac{3}{2}N \cos \varphi (\lambda^{(1)} \circ \mathbf{i}_1) + 3N \cos^2 \varphi (\lambda^{(0)} \circ \mathbf{i}_1). \quad (20)$$

С учётом найденных ранее выражений (9), (11) для $\lambda^{(0)}$ и $\lambda^{(1)}$ уравнение (20) примет вид

$$\begin{aligned} \frac{d\lambda^{(2)}}{d\varphi} = & \frac{1}{2}\lambda^{(2)} \circ [N\mathbf{i}_1 + \mathbf{i}_3] + \\ & + \frac{3}{4}N \left\{ (C - A^+) \circ \mathbf{i}_1 \cos \left[\left(\frac{\omega}{2} + 2 \right) \varphi \right] + (D - B^+) \circ \mathbf{i}_1 \sin \left[\left(\frac{\omega}{2} + 2 \right) \varphi \right] + \right. \\ & + (C - A^-) \circ \mathbf{i}_1 \cos \left[\left(\frac{\omega}{2} - 2 \right) \varphi \right] + (D - B^-) \circ \mathbf{i}_1 \sin \left[\left(\frac{\omega}{2} - 2 \right) \varphi \right] + \\ & \left. + (2C - A^+ - A^-) \circ \mathbf{i}_1 \cos \frac{\omega\varphi}{2} + (2D - B^+ - B^-) \circ \mathbf{i}_1 \sin \frac{\omega\varphi}{2} \right\}. \end{aligned} \quad (21)$$

Так как функции $\cos(\omega\varphi/2)$ и $\sin(\omega\varphi/2)$ входят в фундаментальную систему решений соответствующего однородного уравнения, то решение уравнения (21) будем искать в виде [13]

$$\begin{aligned} \lambda^{(2)} = & E^+ \cos \left[\left(\frac{\omega}{2} + 2 \right) \varphi \right] + F^+ \sin \left[\left(\frac{\omega}{2} + 2 \right) \varphi \right] + E^- \cos \left[\left(\frac{\omega}{2} - 2 \right) \varphi \right] + \\ & + F^- \sin \left[\left(\frac{\omega}{2} - 2 \right) \varphi \right] + G\varphi \cos \frac{\omega\varphi}{2} + H\varphi \sin \frac{\omega\varphi}{2}, \end{aligned} \quad (22)$$

где E^+, F^+, E^-, F^-, G, H — постоянные кватернионы.

Подставляя (22) в уравнение (21) и приравнявая коэффициенты при косинусах и синусах с одинаковыми аргументами, имеем:

$$\begin{aligned} E^+ = & \frac{-3N}{16(\omega+2)} \left\{ C \circ \left[-N - \frac{3N}{8(1+\omega)} (N^2 - 1 + (\omega+2)(\omega+4)) - \right. \right. \\ & \left. \left. - \left(1 + \frac{3N^2}{4(1+\omega)} \right) \mathbf{i}_2 \right] + D \circ \left[\left(\omega+4 + \frac{3N^2(\omega+3)}{4(1+\omega)} \right) \mathbf{i}_1 - \frac{3N}{4(1+\omega)} \mathbf{i}_3 \right] \right\}, \end{aligned} \quad (23)$$

$$\begin{aligned} F^+ = & \frac{3N}{16(\omega+2)} \left\{ C \circ \left[\left(\omega+4 + \frac{3N^2(\omega+3)}{4(1+\omega)} \right) \mathbf{i}_1 - \frac{3N}{4(1+\omega)} \mathbf{i}_3 \right] + \right. \\ & \left. + D \circ \left[N + \frac{3N}{8(1+\omega)} (N^2 - 1 + (\omega+2)(\omega+4)) + \left(1 + \frac{3N^2}{4(1+\omega)} \right) \mathbf{i}_2 \right] \right\}, \\ E^- = & \frac{3N}{16(\omega-2)} \left\{ C \circ \left[-N - \frac{3N}{8(1-\omega)} (N^2 - 1 + (\omega-2)(\omega-4)) - \right. \right. \\ & \left. \left. - \left(1 + \frac{3N^2}{4(1-\omega)} \right) \mathbf{i}_2 \right] + D \circ \left[\left(\omega-4 + \frac{3N^2(\omega-3)}{4(1-\omega)} \right) \mathbf{i}_1 + \frac{3N}{4(1-\omega)} \mathbf{i}_3 \right] \right\}, \end{aligned} \quad (24)$$

$$\begin{aligned} F^- = & \frac{3N}{16(\omega-2)} \left\{ -C \circ \left[\left(\omega-4 + \frac{3N^2(\omega-3)}{4(1-\omega)} \right) \mathbf{i}_1 + \frac{3N}{4(1-\omega)} \mathbf{i}_3 \right] + \right. \\ & \left. + D \circ \left[-N - \frac{3N}{8(1-\omega)} (N^2 - 1 + (\omega-2)(\omega-4)) - \left(1 + \frac{3N^2}{4(1-\omega)} \right) \mathbf{i}_2 \right] \right\}, \end{aligned}$$



$$\begin{aligned}
 \mathbf{G} &= \frac{3}{16} \{ \mathbf{C} \circ [5N - 3\mathbf{i}_2] - 3\omega (\mathbf{D} \circ \mathbf{i}_1) \} \circ \mathbf{i}_1, \\
 \mathbf{H} &= \frac{3}{16} \{ 3\omega (\mathbf{C} \circ \mathbf{i}_1) + \mathbf{D} \circ [5N - 3\mathbf{i}_2] \} \circ \mathbf{i}_1.
 \end{aligned}
 \tag{25}$$

Таким образом, общее решение уравнения (3) с точностью до слагаемых, содержащих эксцентриситет орбиты КА в степени не выше второй, имеет вид (18), где кватернионы $\lambda^{(0)}$, $\lambda^{(1)}$, $\lambda^{(2)}$ вычисляются по формулам (9), (11), (22); при этом постоянные кватернионы задаются формулами (12), (23)–(25).

На рис. 2 показаны законы изменения компонент $err_j(e)$ кватерниона погрешности определения ориентации орбитальной системы координат с учётом слагаемых, содержащих эксцентриситет орбиты КА в степени не выше второй. Параметры задачи и начальный кватернион ориентации орбитальной системы координат по-прежнему имеют вид (16), (17).

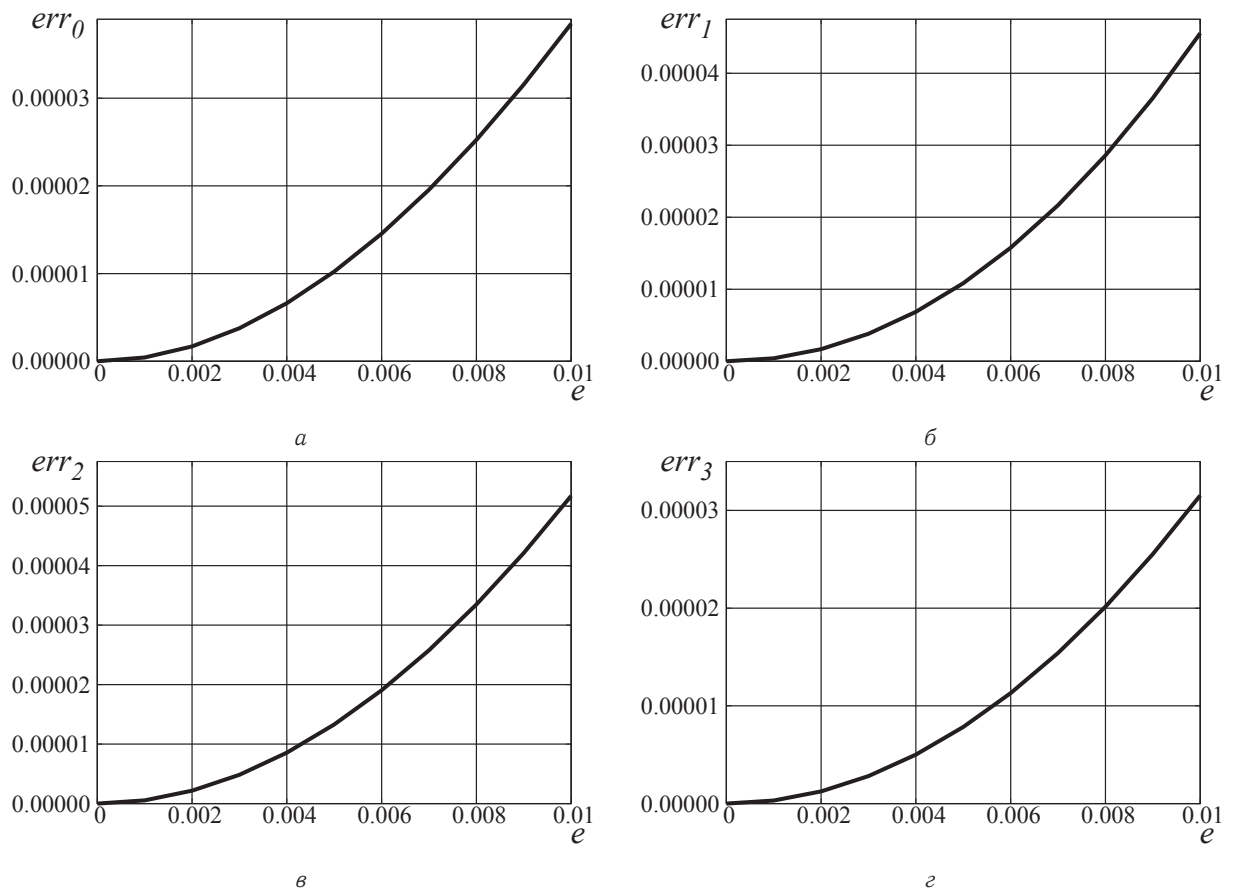


Рис. 2. Компоненты кватерниона погрешности (вторая поправка): а — скалярная часть; б–г — компоненты векторной части

Отметим, что полученное разложение (18) становится непригодным при больших значениях φ из-за присутствия в нём вековых слагаемых $\varphi \cos(\omega\varphi/2)$ и $\varphi \sin(\omega\varphi/2)$. Очевидно, что при возрастании истинной аномалии указанные слагаемые будут того же порядка, что и первый поправочный член (при $\varphi > O(e^{-1})$) или даже будут больше главного члена разложения (при $\varphi > O(e^{-2})$). При этом все предыдущие выкладки были сделаны в предположении, что эти слагаемые должны быть малой поправкой.

Кроме того, необходимо дополнительно исследовать поведение полученных разложений в случае, когда КА оснащён двигателем малой тяги ($N \ll 1$). Дело в том, что при этом $\omega \approx 1$ и в формулах (12), (24) появляются малые знаменатели, что тоже служит источником неравномерности.

Работа выполнена при финансовой поддержке РФФИ (проект № 12-01-00165-а).



Библиографический список

1. Челноков Ю. Н. Применение кватернионов в теории орбитального движения искусственного спутника. I // Космические исследования. 1992. Т. 30, вып. 6. С. 759–770.
2. Челноков Ю. Н. Применение кватернионов в задачах оптимального управления движением центра масс космического аппарата в ньютоновском гравитационном поле. I // Космические исследования. 2001. Т. 39, вып. 5. С. 502–517.
3. Челноков Ю. Н. Применение кватернионов в задачах оптимального управления движением центра масс космического аппарата в ньютоновском гравитационном поле. II // Космические исследования. 2003. Т. 41, вып. 1. С. 92–107.
4. Челноков Ю. Н., Панкратов И. А. Переориентация круговой орбиты космического аппарата с тремя точками переключения управления // Мехатроника, автоматизация, управление. 2011. № 1. С. 70–73.
5. Справочное руководство по небесной механике и астродинамике / В. К. Абалякин, Е. П. Аксенов, Е. А. Гребенников [и др.]. М. : Наука, 1976. 864 с.
6. Бранец В. Н., Шмыглевский И. П. Применение кватернионов в задачах ориентации твердого тела. М. : Наука, 1973. 320 с.
7. Молоденков А. В. К решению задачи Дарбу // Изв. РАН. МТТ. 2007. № 2. С. 3–13.
8. Челноков Ю. Н. Оптимальная переориентация орбиты космического аппарата посредством реактивной тяги, ортогональной плоскости орбиты // Математика. Механика : сб. науч. тр. Саратов : Изд-во Сарат. ун-та, 2006. Вып. 8. С. 231–234.
9. Панкратов И. А., Сапунков Я. Г., Челноков Ю. Н. Решение задачи оптимальной переориентации орбиты космического аппарата с использованием кватернионных уравнений ориентации орбитальной системы координат // Изв. Сарат. ун-та. Нов. сер. Сер. Математика. Механика. Информатика. 2013. Т. 13, вып. 1, ч. 1. С. 84–92.
10. Панкратов И. А., Челноков Ю. Н. Аналитическое решение дифференциальных уравнений ориентации круговой орбиты космического аппарата // Изв. Сарат. ун-та. Нов. сер. Сер. Математика. Механика. Информатика. 2011. Т. 11, вып. 1. С. 83–89.
11. Нейфе А. Введение в методы возмущений. М. : Мир, 1984. 535 с.
12. Челноков Ю. Н. Кватернионные и бикватернионные модели и методы механики твердого тела и их приложения. Геометрия и кинематика движения. М. : Физматлит, 2006. 512 с.
13. Зайцев В. Ф., Полянин А. Д. Справочник по обыкновенным дифференциальным уравнениям. М. : Физматлит, 2001. 576 с.

Analytical Solution of Equations of Near-circular Spacecraft's Orbit Orientation

I. A. Pankratov

Saratov State University, 83, Astrakhanskaya str., 410012, Saratov, Russia, PankratovIA@info.sgu.ru

The problem of optimal reorientation of spacecraft's orbit with a limited control, orthogonal to the plane of spacecraft's orbit, is considered. An approximate analytical solution of differential equations of near-circular spacecraft's orbit orientation by control, that is permanent on adjacent parts of the active spacecraft's motion, is obtained.

Key words: spacecraft, orbit, orientation, quaternion, optimal control.

This work was supported by the Russian Foundation for Basic Research (project no. 12-01-00165-a).

References

1. Chelnokov Yu. N. Application of quaternions in the theory of orbital motion of an artificial satellite. I. *Cosmic Research*, 1992, vol. 30, no. 6, pp. 612–621.
2. Chelnokov Yu. N. The use of quaternions in the optimal control problems of motion of the center of mass of a spacecraft in a newtonian gravitational field : I. *Cosmic Research*, 2001, vol. 39, no. 5, pp. 470–484. DOI 10.1023/A:1012345213745.
3. Chelnokov Yu. N. The use of quaternions in the optimal control problems of motion of the center of mass of a spacecraft in a newtonian gravitational field: II. *Cosmic Research*, 2003, vol. 41, no. 1, pp. 85–99. DOI 10.1023/A:1022359831200.
4. Chelnokov Yu. N., Pankratov I. A. Pereorientatsiia krugovoi orbity kosmicheskogo apparata s tremia tochkami perekliucheniia upravleniia [The reorientation of circular spacecraft's orbit with three points of switching control]. *Mekhatronika, avtomatizatsiia, upravlenie* [Mechatronics, automation, control], 2011, no. 1, pp. 70–73 (in Russian).
5. Abalakin V. K., Aksekov E. P., Grebennikov E. A., Demin V. G., Ryabov Yu. A. *Spravochnoe rukovodstvo po nebesnoi mekhanike i astrodinamike* [Reference guide on celestial mechanics and astrodynamics]. Moscow, Nauka, 1976, 864 p. (in Russian).
6. Branets V. N., Shmyglevskii I. P. *Primenenie kvaternionov v zadachakh orientatsii tverdogo tela* [Use of quaternions in the problems of orientation of solid bodies]. Moscow, Nauka, 1973, 320 p. (in Russian).
7. Molodenkov A. V. On the solution of the Darboux problem. *Mechanics of Solids*, 2007, vol. 42, no. 2, pp. 167–176. DOI 10.3103/S002565440702001X.
8. Pankratov I. A., Sapunkov Ya. G., Chelnokov Yu. N. Solution of a problem of spacecraft's orbit optimal



reorientation using quaternion equations of orbital system of coordinates orientation. *Izv. Saratov Univ. (N.S.), Ser. Math. Mech. Inform.*, 2013, vol. 13, iss. 1, pt. 1, pp. 87–95 (in Russian).

9. Chelnokov Yu. N. Optimal'naja pereorientacija orbity kosmicheskogo apparata posredstvom reaktivnoj tjagi, ortogonal'noj ploskosti orbity [Optimal reorientation of spacecraft's orbit through thrust orthogonal to the plane of orbit]. *Matematika. Mehanika* [Mathematics. Mechanics], Saratov, Saratov Univ. Press, 2006, iss. 8, pp. 231–234 (in Russian).

10. Pankratov I. A., Chelnokov Yu. N. Analytical solution of differential equations of circular spacecraft's orbit orientation. *Izv. Saratov Univ. (N.S.), Ser. Math. Mech. Inform.*, 2011, vol. 11, iss. 1, pt. 1, pp. 83–89 (in Russian).

11. Nayfeh A. H. *Introduction to perturbation techniques*. New York, Chichester, Brisbane, Toronto, John Wiley & Sons, 1981, 519 p.

12. Chelnokov Yu. N. *Kvaternionnye i bikvaternionnye modeli i metody mekhaniki tverdogo tela i ikh prilozheniia. Geometriia i kinematika dvizheniia* [Quaternion and bi-quaternion models and methods of solid state mechanics and their applications. Geometry and kinematics of motion]. Moscow, Fizmatlit, 2006, 512 p. (in Russian).

13. Zaitsev V. F., Polianin A. D. *Spravochnik po obyknovennym differentsial'nym uravneniiam* [Handbook of ordinary differential equations]. Moscow, Fizmatlit, 2001, 576 p. (in Russian).